

Table S1: Analysed amino-acid positions for the different hepatitis C genotype and subtype.

Amino-acid positions		Geno-and subtype					
drug class (genome region) / position		1a	1b	2c	3a	4a	4d
Protease inhibitor (NS3)	36	V36 ²⁴	V36 ²⁴	L36 [¶]			
	41		Q41 ²⁴				
	43	F43 ²⁶	F43 ²⁴				
	54	T54 ²⁴	T54 ²⁴				
	55		V55 ²⁴				
	56	Y56 ²⁴	Y56 ²⁴	F56 ²⁴	Y56 ²⁴	Y56 ²⁴	Y56 ²⁴
	80	Q80 ²⁴	Q80 ²⁴		Q80 ^{26,28}	Q80 ²⁴	Q80 ²⁴
	122	S122 ²⁴	S122 ²⁴				
	155	R155 ²⁴	R155 ²⁴			R155 ²⁴	R155 ²⁴
	156	A156 ²⁴	A156 ²⁴	A156 ^{‡29}	A156 ²⁴	A156 ²⁴	A156 ²⁴
	158	V158 ²⁴	V158 ²⁴				
NS5A inhibitors (NS5A)	168	D168 ²⁴	D168 ²⁴	D168 ^{‡29}	Q168 ²⁴	D168 ²⁴	D168 ²⁴
	170	I170 ²⁴	V170 ²⁴				
	24	K24 ²⁴					
	28	M28 ²⁴	L28 ²⁴	F28 ²⁴	M28 ²⁴	L28 ²⁴	L28 ²⁴
	30	Q30 ²⁴	R30 ²⁴	K30 ²⁴	A30 ²⁴	L30 ²⁴	R30 ²⁴
	31	L31 ²⁴	L31 ²⁴	L31 ²⁴	L31 ²⁴	M31 ²⁴	M31 ²⁴
	32	P32 ²⁴					
	38	S38 ²⁴					
Nucleotide analogue (NS5B)	58	H58 ²⁴	P58 ²⁴	P58 ²⁸	P58 ^{30,31}	P58 ²⁴	T58 ²⁴
	62		Q/E62D		S62L	E62	E62
	92	A92 ²⁴	A92 ²⁴	C92 ²⁴	E92 ²⁴		
	93	Y93 ²⁴	Y93 ²⁴	Y93 ²⁴	Y93 ²⁴	Y93 ²⁴	Y93 ²⁴
	159	L159 ²⁴	L159 ²⁴	L159 ²⁴	L159 ²⁴		
Non-Nucleoside analogue (NS5B)	282	S282 ²⁴	S282 ²⁴	S282 ²⁴	S282 ²⁴	S282 ²⁴	S282 ²⁴
	316	C316F/R/Y ²⁴	C316N/F/H ²¹			*C316Y	
	320	L320 ²⁴					
	321	V321 ²⁴			V321 ²⁴		
	316	C316Y ²¹	C316H/N/Y/W ²¹				
Non-Nucleoside analogue (NS5B)	414	M414 ²⁴	M414 ²⁴				
	444	D/N444					
	448	Y448 ²⁴	Y448 ²⁴				
	553	A553 ²⁴	A553 ²⁴				
	554	G554 ²⁴	G554 ²⁴				
	556	S556 ²⁴	S556 ²⁴				

	558	G558 ²⁴	G558 ²⁴
	559	D559 ²⁴	D559 ²⁴

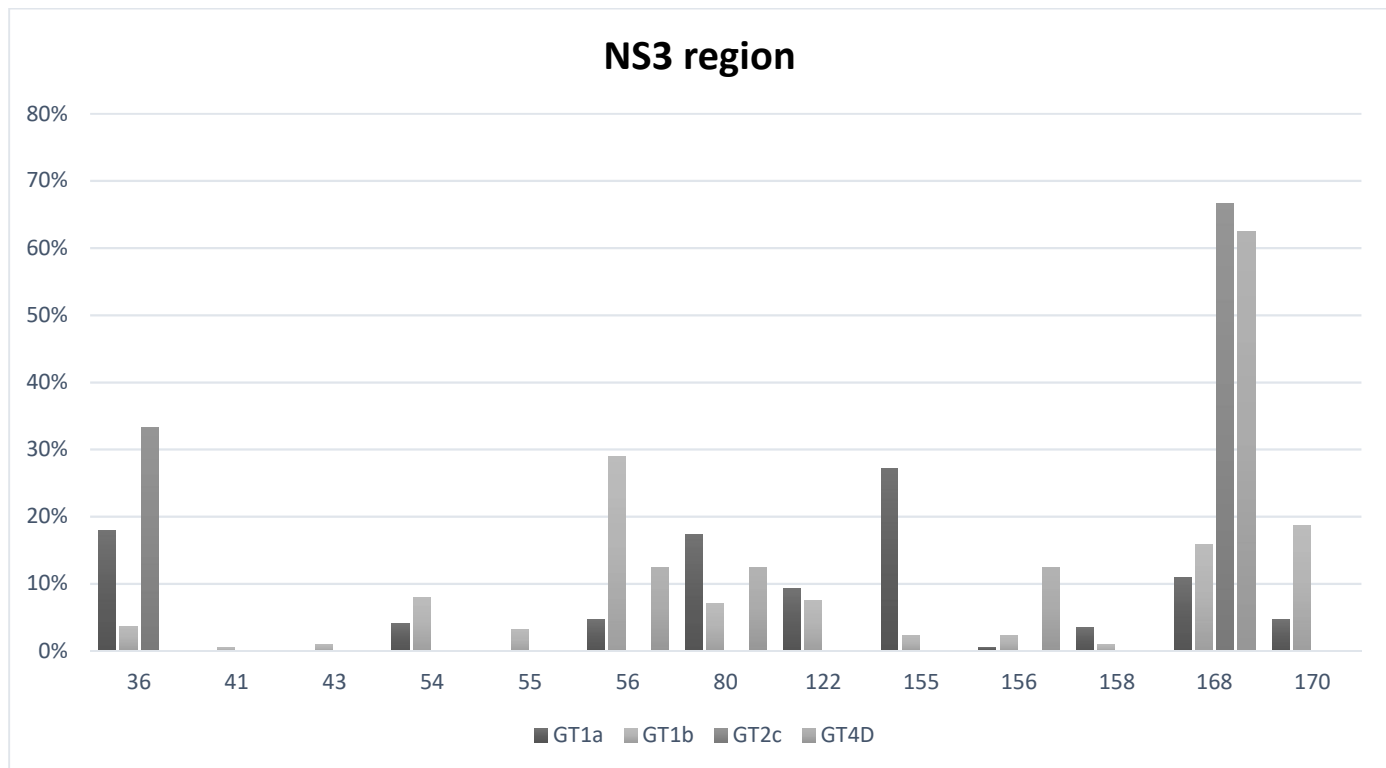
Table 1. Covered amino-acid positions for treatment- emerging RAS per geno-and subtype

⌘ Possible treatment emerging mutation found

‡ Positions indicated as clinically relevant in genotype 2a and 2b; unknown for genotype 2c

Figure S1. Figure distinct RAS pattern after direct-acting antiviral failure per region per Hepatitis C genotype.

In NS3 there was no data or patients who failed with a GT3a and GT4a HCV infection. In NS5B there was no data of patients who failed with a GT2c HCV infection. In the NS5B region there is a distinction between patients who failed a SOF or DAS containing regimen.



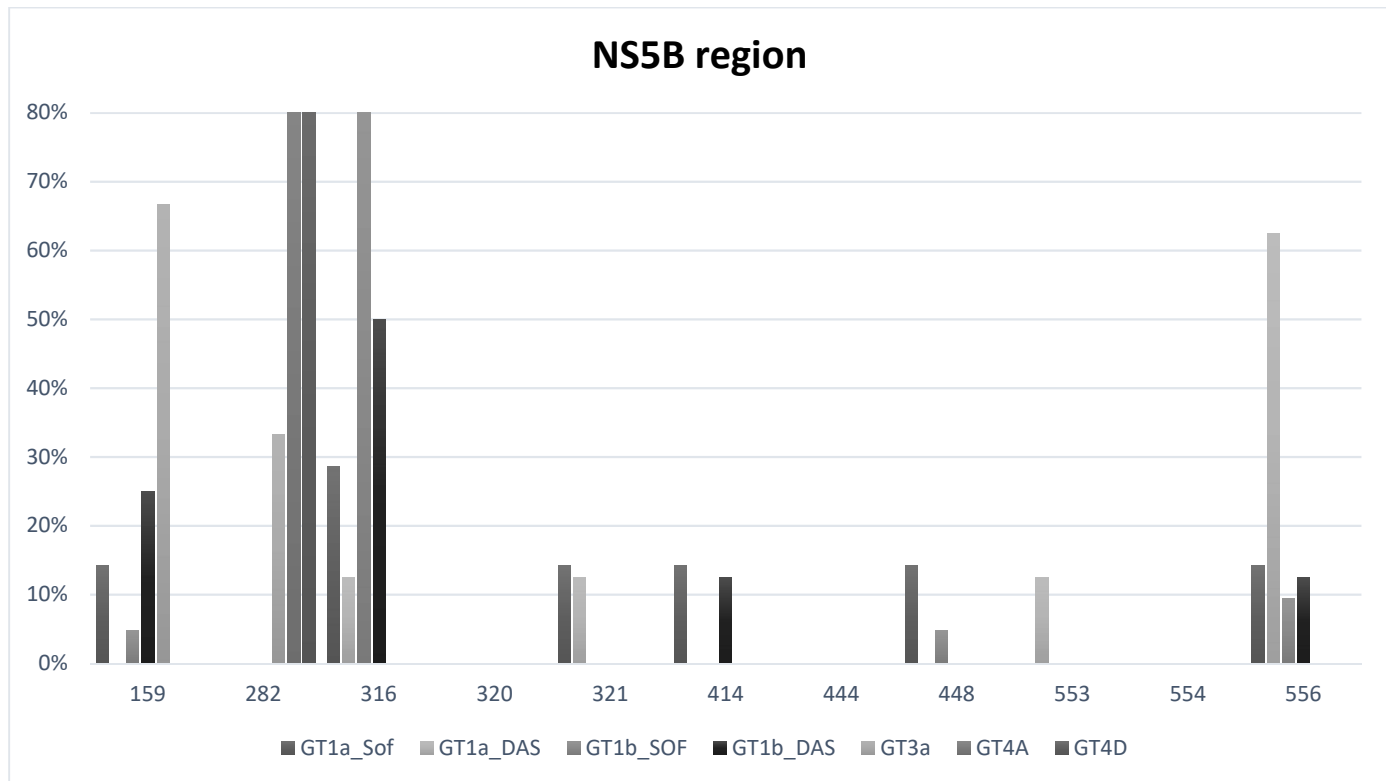
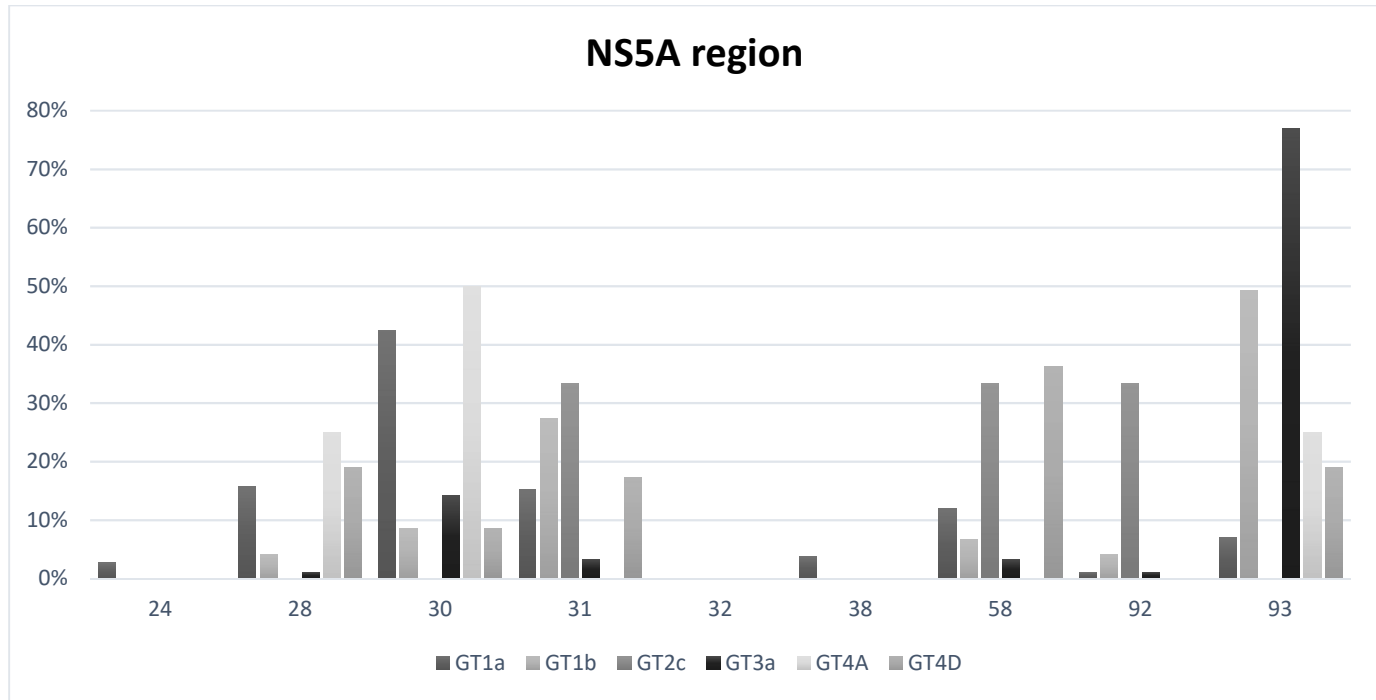


Table S2. European RAS prevalence after failure specified over different geno-/subtypes.

HCV genotype 1a			
NS3	Prevalence	95% Confidence interval	
<i>V36L</i>	5.9	2.9	11.6
<i>V36M</i>	20.2	13.9	28.3
<i>T54A</i>	1.7	0.5	5.9
<i>T54S</i>	4.2	1.8	9.5
<i>Y56H</i>	5.9	2.9	11.6
<i>Y56W</i>	0.8	0.1	4.6
<i>Q80H</i>	0.8	0.1	4.6
<i>Q80K</i>	20.2	13.9	28.3
<i>Q80KN</i>	0.8	0.1	4.6
<i>Q80L</i>	5.0	2.3	10.6
<i>S122G</i>	11.0	6.6	17.9
<i>S122I</i>	0.8	0.1	4.6
<i>S122N</i>	1.7	0.5	6.0
<i>R155I</i>	0.8	0.1	4.6
<i>R155K</i>	37.3	29.1	46.3
<i>R155KT</i>	0.8	0.1	4.6
<i>R155T</i>	1.7	0.5	6.0
<i>A156V</i>	0.9	0.2	4.7
<i>V158G</i>	0.9	0.2	4.7
<i>V158I</i>	1.7	0.5	6.1
<i>V158M</i>	1.7	0.5	6.1
<i>V158L</i>	0.9	0.2	4.7
<i>D168A</i>	5.7	2.6	11.8
<i>D168AV</i>	0.9	0.2	5.2
<i>D168E</i>	3.8	1.5	9.3
<i>D168V</i>	4.7	2.0	10.6
<i>D168Y</i>	1.9	0.5	6.6
<i>I170T</i>	1.9	0.5	6.7
<i>I170V</i>	5.7	2.6	11.9
<hr/>			
NS5A	Prevalence	95% Confidence interval	
<i>K24E</i>	0.6	0.1	3.6
<i>K24Q</i>	0.6	0.1	3.6
<i>K24R</i>	1.3	0.4	4.6
<i>K24S</i>	0.6	0.1	3.6
<i>M28L</i>	0.6	0.1	3.5
<i>M28T</i>	10.0	6.2	15.6
<i>M28PT</i>	0.6	0.1	3.5
<i>M28V</i>	7.5	4.3	12.7
<i>Q30A</i>	0.6	0.1	3.5
<i>Q30D</i>	0.6	0.1	3.5
<i>Q30E</i>	3.1	1.3	7.1

<i>Q30H</i>	6.9	3.9	11.9
<i>Q30HR</i>	0.6	0.1	3.5
<i>Q30K</i>	1.9	0.6	5.4
<i>Q30L</i>	1.3	0.3	4.4
<i>Q30R</i>	34.4	27.5	42.0
<i>L31C</i>	0.6	0.1	3.4
<i>L31F</i>	0.6	0.1	3.4
<i>L31M</i>	14.9	10.2	21.2
<i>L31V</i>	1.9	0.6	5.3
<i>S38APT</i>	0.6	0.1	3.4
<i>S38F</i>	1.2	0.3	4.3
<i>S38H</i>	0.6	0.1	3.4
<i>S38P</i>	0.6	0.1	3.4
<i>S38Y</i>	0.6	0.1	3.4
<i>S38W</i>	0.6	0.1	3.4
<i>H58C</i>	0.6	0.1	3.4
<i>H58D</i>	3.1	1.3	7.0
<i>H58G</i>	0.6	0.1	3.4
<i>H58QR</i>	0.6	0.1	3.4
<i>H58N</i>	0.6	0.1	3.4
<i>H58P</i>	6.8	3.8	11.7
<i>H58Y</i>	1.2	0.3	4.4
<i>A92P</i>	0.6	0.1	3.5
<i>A92T</i>	0.6	0.1	3.5
<i>Y93C</i>	1.3	0.4	4.6
<i>Y93H</i>	7.1	4.0	12.2
<i>Y93N</i>	0.6	0.1	3.5
NS5B			
Prevalence 95% Confidence interval			
<i>L159F</i>	2.9	0.5	14.9
<i>S282T</i>	1.4	0.3	7.7
<i>C316N*</i>	1.4	0.2	7.6
<i>C316R*</i>	1.4	0.2	7.6
<i>C316Y*</i>	1.4	0.2	7.6
<i>C316Y**</i>	10.0	2.8	30.1
<i>V321F</i>	1.4	0.2	7.6
<i>A553T</i>	9.1	1.6	37.7
<i>S556G</i>	45.5	21.3	72.0

*Sofosbuvir; **Dasabuvir

HCV genotype 1b

NS3	Prevalence	95% Confidence interval	
<i>V36A</i>	1.1	0.3	3.8
<i>V36C</i>	0.5	0.1	3.0
<i>V36L</i>	0.5	0.1	3.0
<i>V36M</i>	1.1	0.3	3.8
<i>F43S</i>	0.5	0.1	3.0
<i>T54A</i>	4.8	2.5	8.8

<i>T54S</i>	4.8	2.5	8.8
<i>V55A</i>	1.1	0.3	3.8
<i>V55F</i>	0.5	0.1	2.9
<i>Y56F</i>	29.1	23.1	35.9
<i>Y56H</i>	6.3	3.7	10.8
<i>Q80K</i>	0.5	0.1	2.9
<i>Q80L</i>	2.1	0.8	5.3
<i>Q80R</i>	3.2	1.5	6.8
<i>S122N</i>	1.7	0.6	4.8
<i>S122R</i>	0.6	0.1	3.1
<i>S122T</i>	7.3	4.3	12.1
<i>R155A</i>	0.6	0.1	3.1
<i>R155G</i>	0.6	0.1	3.1
<i>R155Q</i>	1.7	0.6	4.8
<i>R155W</i>	0.6	0.1	3.1
<i>A156G</i>	0.6	0.1	3.1
<i>A156S</i>	1.1	0.3	4.0
<i>A156T</i>	1.7	0.6	4.8
<i>A156V</i>	0.6	0.1	3.1
<i>V158I</i>	0.6	0.1	3.1
<i>D168A</i>	3.4	1.6	7.3
<i>D168E</i>	6.3	3.6	11.0
<i>D168H</i>	0.6	0.1	3.2
<i>D168N</i>	0.6	0.1	3.2
<i>D168V</i>	14.4	9.9	20.3
<i>V170A</i>	2.8	1.1	7.0
<i>V170I</i>	23.1	16.9	30.6
<i>V170T</i>	0.7	0.1	3.9

NS5A	Prevalence	95% Confidence interval	
<i>L28G</i>	0.8	0.1	4.2
<i>L28M</i>	4.6	2.1	9.6
<i>L28V</i>	0.8	0.1	4.2
<i>R30AGP</i>	0.8	0.1	4.1
<i>R30K</i>	0.8	0.1	4.1
<i>R30Q</i>	12.0	7.5	18.6
<i>L31EV</i>	0.7	0.1	4.1
<i>L31F</i>	0.7	0.1	4.1
<i>L31I</i>	6.0	3.1	11.3
<i>L31IM</i>	0.7	0.1	4.1
<i>L31M</i>	29.1	22.1	37.3
<i>L31V</i>	6.0	3.1	11.3
<i>P58A</i>	1.4	0.4	5.0
<i>P58S</i>	4.9	2.4	9.8
<i>P58T</i>	2.1	0.7	6.0
<i>A92E</i>	0.7	0.1	3.9
<i>A92K</i>	0.7	0.1	3.9
<i>A92T</i>	0.7	0.1	3.9

<i>A92V</i>	3.5	1.5	8.0
<i>Y93C</i>	0.7	0.1	3.9
<i>Y93H</i>	73.2	65.4	79.8
NS5B			
	Prevalence	95% Confidence interval	
<i>L159F</i>	43.8	33.0	55.2
<i>S282</i>	0.0	0.0	3.6
<i>C316N*</i>	60.8	51.1	69.7
<i>C316N**</i>	56.3	33.2	76.9
<i>C316H</i>	6.3	1.1	28.3
<i>M414I</i>	9.1	1.6	37.7
<i>G556S</i>	44.4	18.9	73.3

*Sofosbuvir; **Dasabuvir

HCV genotype 2c

NS3	Prevalence	95% Confidence interval	
<i>L36V</i>	33.3	6.1	79.2
<i>V158M</i>	33.3	6.1	79.2
<i>D168V</i>	100	34.2	100.0
NS5A			
	Prevalence	95% Confidence interval	
<i>F28C</i>	100	51.0	100.0
<i>L31M</i>	25	4.6	69.9
<i>P58S</i>	25	4.6	69.9
<i>C92S</i>	25	4.6	69.9

There were no NS5B failures or NS5B sequences available in our cohort of GT2c failures

HCV genotype 3a

NS5A	Prevalence	95% Confidence interval	
<i>M28L</i>	0.6	0.1	3.2
<i>A30K</i>	14.9	10.3	20.9
<i>A30S</i>	5.1	2.7	9.5
<i>A30T</i>	0.6	0.1	3.2
<i>A30V</i>	1.1	0.3	4.1
<i>L31F</i>	0.6	0.1	3.1
<i>L31I</i>	1.7	0.6	4.9
<i>L31M</i>	0.6	0.1	3.1
<i>P58A</i>	1.1	0.3	4.1
<i>P58R</i>	0.6	0.1	3.2
<i>P58S</i>	2.3	0.9	5.7
<i>P58T</i>	1.1	0.3	4.1
<i>E92A</i>	0.6	0.1	3.2
<i>E92del</i>	0.6	0.1	3.2
<i>Y93H</i>	57.1	49.7	64.2
<i>Y93N</i>	0.6	0.1	3.2
NS5B			
	Prevalence	95% Confidence interval	
<i>L159F</i>	2.8	1.0	8.0

<i>L159H</i>	0.9	0.2	5.2
<i>E237G</i>	0.9	0.2	4.9
<i>S282GR</i>	0.8	0.1	4.4
<i>S282T</i>	0.8	0.1	4.4
<i>C316A*</i>	0.8	0.1	4.3
<i>V321A</i>	0.8	0.1	4.3

*Sofosbuvir. There were no NS3 failures or NS3 sequences available in our cohort of GT3a failures. No RAS were detected at position 321 of GT3a DAS failures

HCV genotype 4a

NS3	Prevalence	95% Confidence interval	
<i>Q80R</i>	1	20.7	100
NS5A			
NS5A	Prevalence	95% Confidence interval	
<i>L28M</i>	25.0	8.9	53.2
<i>L28V</i>	33.3	13.8	60.9
<i>R30F</i>	8.3	1.5	35.4
<i>R30H</i>	25.0	8.9	53.2
<i>R30L</i>	41.7	19.3	68.0
<i>P58T</i>	8.3	1.5	35.4
<i>E62Q</i>	9.1	1.6	37.7
<i>Y93H</i>	8.3	1.5	35.4
NS5B			
NS5B	Prevalence	95% Confidence interval	
<i>S282T</i>	33.33	12.1	64.6

HCV genotype 4d

NS3	Prevalence	95% Confidence interval	
<i>Y56H</i>	4.2	0.7	20.2
<i>A156G</i>	5.6	1.0	25.8
<i>D168A</i>	11.1	3.1	32.8
<i>D168E</i>	16.7	5.8	39.2
<i>D168V</i>	5.6	1.0	25.8
NS5A			
NS5A	Prevalence	95% Confidence interval	
<i>L28ALSV</i>	2.1	0.4	11.1
<i>L28M</i>	6.4	2.2	17.2
<i>L28S</i>	2.1	0.4	11.1
<i>L28V</i>	12.8	6.0	25.2
<i>R30C</i>	2.1	0.4	11.1
<i>R30H</i>	2.1	0.4	11.1
<i>R30S</i>	2.1	0.4	11.1
<i>M31I</i>	2.1	0.4	11.1
<i>M31V</i>	17.0	8.9	30.1
<i>T58A</i>	6.4	2.2	17.2
<i>T58L</i>	2.1	0.4	11.1
<i>T58LP</i>	2.1	0.4	11.1
<i>T58P</i>	57.4	43.3	70.5

<i>T58PS</i>	2.1	0.4	11.1
<i>E62M</i>	2.2	0.4	11.6
<i>E62Q</i>	2.2	0.4	11.6
<i>Y93C</i>	8.7	3.4	20.3
<i>Y93CS</i>	2.2	0.4	11.3
<i>Y93H</i>	8.7	3.4	20.3
NS5B			
	Prevalence	95% Confidence interval	
<i>S282CT</i>	8.7	2.4	26.8
<i>S282T</i>	4.3	0.8	21.0

Table S3. European prevalence of NS5A RAS patterns.

HCV genotype 1a	Prevalence	95% Confidence interval	
<i>H58P+A92AP</i>	0,6	0,1	3,6
<i>K24Q+M28L+H58P+Y93H</i>	0,6	0,1	3,6
<i>K24R+Q30H</i>	0,6	0,1	3,6
<i>K24R+Q30R</i>	0,6	0,1	3,6
<i>K24S+Q30R+Y93H</i>	0,6	0,1	3,6
<i>L31F+H58N</i>	0,6	0,1	3,6
<i>L31M+H58P</i>	1,9	0,7	5,5
<i>L31V+H58P</i>	0,6	0,1	3,6
<i>M28MT+Q30QR</i>	0,6	0,1	3,6
<i>M28MT+Q30QR+H58Y</i>	0,6	0,1	3,6
<i>M28MT+Q30R+H58P</i>	0,6	0,1	3,6
<i>M28MV+Q30R</i>	0,6	0,1	3,6
<i>M28MV+S38APST</i>	0,6	0,1	3,6
<i>M28T+H58P+S38F</i>	0,6	0,1	3,6
<i>M28T+Q30R</i>	1,9	0,7	5,5
<i>M28V+L31M</i>	0,6	0,1	3,6
<i>M28V+Q30R</i>	1,9	0,7	5,5
<i>M28V+Q30R+S38SY</i>	0,6	0,1	3,6
<i>Q30E+L31C</i>	0,6	0,1	3,6
<i>Q30E+S38W</i>	0,6	0,1	3,6
<i>Q30H+H58C+Y93H</i>	0,6	0,1	3,6
<i>Q30H+H58HQR+Y93H</i>	0,6	0,1	3,6
<i>Q30H+H58Y</i>	0,6	0,1	3,6
<i>Q30H+Y93H</i>	0,6	0,1	3,6
<i>Q30KQ+A92AT+Y93HY</i>	0,6	0,1	3,6
<i>Q30R+H58D</i>	1,9	0,7	5,5
<i>Q30R+L31LM+H58DH</i>	0,6	0,1	3,6
<i>Q30R+L31M</i>	2,6	1,0	6,4
<i>Q30R+L31V</i>	0,6	0,1	3,6
<i>Q30R+S38FS</i>	0,6	0,1	3,6
<i>Q30R+S38P</i>	0,6	0,1	3,6

HCV genotype 1b	Prevalence	95% Confidence interval	
<i>L31M+Y93H</i>	16,0	10,1	23,9
<i>L28M+Y93H</i>	3,1	1,0	7,8
<i>P58PS+Y93H</i>	3,1	1,0	7,8
<i>R30Q+Y93H</i>	3,1	1,0	7,8
<i>A92V+Y93H</i>	2,3	0,6	6,7
<i>L31I+Y93H</i>	2,3	0,6	6,7
<i>L31V+Y93H</i>	3,1	1,0	7,8
<i>R30Q+L31M+Y93H</i>	2,3	0,6	6,7
<i>R30Q+L31I+Y93H</i>	1,5	0,3	5,5
<i>L28G+L31I</i>	0,8	0,0	4,3
<i>L28M+R30AGP+L31F+A92E+Y93H</i>	0,8	0,0	4,3
<i>L28M+L31M+Y93H</i>	0,8	0,0	4,3
<i>L28V+Y93H</i>	0,8	0,0	4,3
<i>L31EV+Y93H</i>	0,8	0,0	4,3
<i>L31I+A92T+Y93H</i>	0,8	0,0	4,3
<i>L31IM+Y93H</i>	0,8	0,0	4,3
<i>L31LV+Y93HY</i>	0,8	0,0	4,3
<i>L31M+A92V+Y93H</i>	0,8	0,0	4,3
<i>L31M+P58S+Y93C</i>	0,8	0,0	4,3
<i>L31V+P58T+Y93H</i>	0,8	0,0	4,3
<i>P58A+Y93H</i>	0,8	0,0	4,3
<i>P58T+Y93H</i>	0,8	0,0	4,3
<i>R30K+P58A+Y93H</i>	0,8	0,0	4,3
<i>R30Q+L31M</i>	0,8	0,0	4,3
<i>R30Q+L31M+P58S+Y93H</i>	0,8	0,0	4,3
<i>R30Q+L31V+Y93H</i>	0,8	0,0	4,3
<i>R30Q+P58S+Y93H</i>	0,8	0,0	4,3
<i>R30Q+A92K</i>	0,8	0,0	4,3
<i>Q30R+L31M</i>	3,1	1,0	7,8
<i>L31M+H58P</i>	2,3	0,6	6,7
<i>M28T+Q30R</i>	2,3	0,6	6,7
<i>M28V+Q30R</i>	2,3	0,6	6,7
<i>Q30R+H58D</i>	2,3	0,6	6,7
<i>H58P+A92AP</i>	0,8	0,0	4,3
<i>K24Q+M28L+H58P+Y93H</i>	0,8	0,0	4,3
<i>K24R+Q30H</i>	0,8	0,0	4,3
<i>K24R+Q30R</i>	0,8	0,0	4,3
<i>K24S+Q30R+Y93H</i>	0,8	0,0	4,3
<i>L31F+H58N</i>	0,8	0,0	4,3
<i>L31V+H58P</i>	0,8	0,0	4,3
<i>M28MT+Q30QR</i>	0,8	0,0	4,3
<i>M28MT+Q30QR+H58Y</i>	0,8	0,0	4,3
<i>M28MT+Q30R+H58P</i>	0,8	0,0	4,3
<i>M28MV+Q30R</i>	0,8	0,0	4,3
<i>M28MV+S38APST</i>	0,8	0,0	4,3

<i>M28T+H58P+S38F</i>	0,8	0,0	4,3
<i>M28V+L31M</i>	0,8	0,0	4,3
<i>M28V+Q30R+S38SY</i>	0,8	0,0	4,3
<i>Q30E+L31C</i>	0,8	0,0	4,3
<i>Q30E+S38W</i>	0,8	0,0	4,3
<i>Q30H+H58C+Y93H</i>	0,8	0,0	4,3
<i>Q30H+H58HQR+Y93H</i>	0,8	0,0	4,3
<i>Q30H+H58Y</i>	0,8	0,0	4,3
<i>Q30H+Y93H</i>	0,8	0,0	4,3
<i>Q30KQ+A92AT+Y93HY</i>	0,8	0,0	4,3
<i>Q30R+L31LM+H58DH</i>	0,8	0,0	4,3
<i>Q30R+L31V</i>	0,8	0,0	4,3
<i>Q30R+S38FS</i>	0,8	0,0	4,3
<i>Q30R+S38P</i>	0,8	0,0	4,3
HCV genotype 2c	Prevalence	95% Confidence interval	
<i>F28C+P58S</i>	25,0	4,6	69,9
<i>F28C+C92S</i>	25,0	4,6	69,9
<i>F28C+L31M</i>	25,0	4,6	69,9
HCV genotype 3a	Prevalence	95% Confidence interval	
<i>A30T+Y93H</i>	0,9	0,2	5,2
<i>M28L+A30S+Y93H</i>	0,9	0,2	5,2
<i>P58S+Y93H</i>	0,9	0,2	5,2
<i>L31I+Y93H</i>	0,9	0,2	5,2
<i>A30S+Y93H</i>	0,9	0,2	5,2
<i>A30K+E92A</i>	0,9	0,2	5,2
<i>A30V+Y93H</i>	0,9	0,2	5,2
<i>A30K+Y93H</i>	1,9	0,5	6,6
<i>P58R+Y93H</i>	0,9	0,2	5,2
HCV genotype 4a	Prevalence	95% Confidence interval	
<i>L28M+L30R</i>	25,0	4,6	69,9
HCV genotype 4d	Prevalence	95% Confidence interval	
<i>L28LV+R30H</i>	2,2	1,9	9,8
<i>M31V+T58P</i>	6,5	5,9	13,9
<i>M31V+T58A</i>	2,2	1,9	9,8
<i>T58P+Y93CS</i>	2,2	1,9	9,8
<i>T58P+Y93C</i>	2,2	1,9	9,8
<i>R30C+Y93H</i>	2,2	1,9	9,8
<i>T58P+Y93H</i>	4,3	3,8	11,9
<i>L28M+T58P</i>	6,5	5,9	13,9
<i>R30H+T58A</i>	2,2	1,9	9,8
<i>T58P+Y93CY</i>	2,2	1,9	9,8
<i>T58A+Y93C</i>	2,2	1,9	9,8
<i>M31V+Y93H</i>	2,2	1,9	9,8
<i>L28M+T58H</i>	2,2	1,9	9,8
<i>L28V+R30S+T58P</i>	2,2	1,9	9,8
<i>L28ALSV+M31MV+T58P</i>	2,2	1,9	9,8

<i>L28S+T58P+Y93C</i>	2,2	1,9	9,8
<i>L28V+M31IM+T58L</i>	2,2	1,9	9,8